

- [17] Hecher K, Bilardo CM, Stigter RH, et al. Monitoring of fetuses with intrauterine growth restriction: A longitudinal study. *Ultrasound Obstet Gynecol*, 2001,18(6):564-570.
- [18] Cruz-Martinez R, Figueras F, Benavides-Serralde A, et al.

Sequence of changes in myocardial performance index in relation to aortic isthmus and ductus venosus Doppler in fetuses with early-onset intrauterine growth restriction. *Ultrasound Obstet Gynecol*, 2011,38(2):179-184.

## Hepatic malignant perivascular epithelioid cell tumor in child: Case report

### 儿童肝脏恶性血管周上皮样细胞瘤 1 例

王亚男, 陈晓曦, 钱 堃, 曾 珍, 王星宇, 张体江

(遵义医学院附属医院影像科, 贵州 遵义 563003)

[Key words] Perivascular epithelioid cell tumor; Neoplasms; Tomography, X-ray computed

[关键词] 血管周上皮样细胞瘤; 肿瘤; 体层摄影术, X 线计算机

DOI: 10.13929/j.1003-3289.201801052

[中图分类号] R735.7; R814.42 [文献标识码] B [文章编号] 1003-3289(2018)11-1671-01

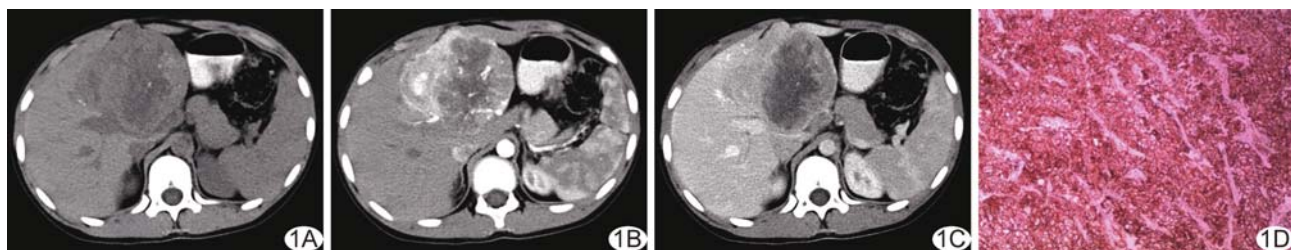


图 1 肝脏恶性血管周上皮样细胞瘤 A. CT 平扫见肝左叶类圆形混杂密度团块, 内见少量点状高密度影; B. CT 增强扫描动脉期明显强化, 肿块内见多支纤细的血管影; C. CT 增强扫描静脉期肿块强化减弱; D. 病理图(HE, ×100)

患儿男, 12 岁, 因“发现上腹部包块 5 个月”就诊。查体: 上腹部触及包块, 质地硬, 与周围组织界限欠清, 局部无压痛。实验室检查: 铁蛋白稍增高 (343.2  $\mu\text{g/L}$ ), AFP(-)。CT 检查: 平扫见肝左叶约 90 mm×93 mm×72 mm 混杂密度团块, 内见点状钙化(图 1A); 增强扫描示肿块呈不均匀强化, 动脉期可见多发强化血管影(图 1B), 静脉期强化减弱(图 1C)。CT 提示: 肝脏恶性肿瘤, 肝母细胞瘤或肉瘤可能性大。行肝脏肿块切除+胆囊切除+肝脏活检术, 术中见质地较软的肿块横跨于肝左、右叶及肝门部, 部分在肝外, 表面覆盖假性包膜, 血供丰富, 通过多支血管与肝脏相连接。免疫组化: Melanpma(HMB45)(+), Ki-67(2%+), 平滑肌肌动蛋白(血管+), CD56(+). 术后病理诊断(图 1D): 肝脏恶性血管周上皮样细胞瘤(perivascular epithelioid cell tumor, PEComa)。

讨论 PEComa 是一种罕见的、起源于间叶组织的肿瘤, 好发于肾脏、子宫, 多见于成年女性, 多通过体检发现或因肿瘤过大出现压迫症状而就诊。大部分肝脏 PEComa 的生物学行为表现为良性, 表现为恶性者罕见; 本例为儿童恶性肝脏 PEComa, 更为罕见。病理学上 PEComa 由单形性血管周上皮样细胞构成, 包括平滑肌、血管及脂肪 3 种成分, 也可以其中一种成分为主; 免疫组化示肌细胞(平滑肌肌动蛋白、肌特异性肌动蛋白)和黑色素生成标志物(melanA)阳性对诊断最具意义。肝脏 PEComa 的 CT 表现为类圆形低或稍低密度肿块, 内含多种成分时如脂肪、出血等可表现密度不均, 罕见钙化, 本例肿块内见点状钙化; 增强 CT 肿块可见“快进快出”或“渐进性”强化, 典型者肿块内或边缘见粗大强化血管影。本例为儿童, 且肿块内未见脂肪成分, 主要需与肝母细胞瘤相鉴别, 后者肿块较大, 恶性程度高, 可通过血液和淋巴途径广泛转移, 且 AFP 水平多升高。本病明确诊断需依靠病理学检查。

[第一作者] 王亚男(1983—), 女, 甘肃白银人, 硕士, 主治医师。

E-mail: 154629202qq.com

[收稿日期] 2018-01-08 [修回日期] 2018-07-21